

密度成層流体中の海水交換機構に関する研究

中 村 充*・萩 野 静 也**

1. はじめに

湾における海水の交流交換は湾の水質問題における最も重要な現象である。湾軸に沿った長さ数km～十数km、深さ10～50m規模の湾は全国に多数存在し、この海域は高度に利用され水質問題をもっている。一方このような湾では夏季、水温・塩分に起因する鉛直密度成層が形成されるのが普通である。そこでそのような密度成層下での流動環境がどうなっているかという実体を把握し、その海水流動を支配する要因およびそれの海水交流・交換に及ぼす機構を解明するために高知県須崎市野見湾ハマチ漁場において流速・流向・水温・塩分の連続観測を行なった。

野見湾は須崎湾の湾口東側に位置し、面積4.1km²、平均水深18mの内湾である。その湾口は比較的広く、水深は湾奥に向って浅くなっている。また春から夏季にかけ水深10m付近に密度成層が形成される。湾口での流れは二層流になることが多く、その流速は比較的大きい。中村¹⁾はこの大きな海水流動は内部波エネルギーによるものであろうと推定している。また宗影²⁾は湾口の海水交流は黒潮の離接岸に關係がありそうだと推定している。一方当該地区は初秋の頃流動環境が悪化し、いわゆる漁民の言う“潮どまり”現象が起り、しばしばハマチのへい死を招いている。そこでこの湾の適正なハマチ養殖量を決める必要があり、そのためにも夏季から初秋の交換の機構・交換量を調査した。

2. 調査結果およびその考察

(1) 調査方法

調査は1977年と1978年の2回行なった。それぞれの年度の調査方法の概要は以下の通りである。

a) 1977年の調査

9月28日から10月28日までの1ヶ月間図-1の湾口部St.-Aの地点に磁気テープ式流速計(MTCM-5A)2台を中間ブイ式で係留し、流速・流向・水温・塩分の観測を行なった。流速計の設置水深は約5mと17mの上

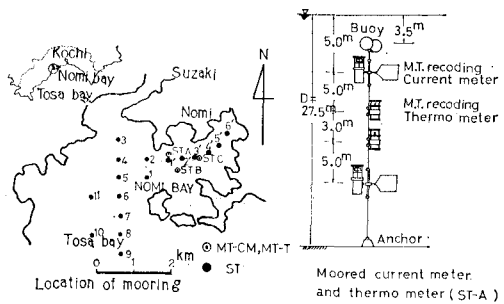


図-1 野見湾調査地点および測器係留系

下二層で、サンプリング間隔は5分である。

b) 1978年の調査

8月16日から10月12日までの約2ヶ月間図-1の湾内3点(St.-A, B, C)に磁気テープ式流速計(MTCM-5A)と水温計(MT-T)を設置し、流速・流向・水温・塩分の観測を行なった。St.-Aの測器の設置水深および係留方法は図-1に示す通りである。また他のSt.でも同じような係留方法を採用した。これらの観測の他に8月17日に図-1の●印の17点で塩分・水温の鉛直分布調査を行なった。

(2) 調査結果および考察

a) 1977年の調査結果

図-2に5m層と17m層における1時間毎の東西方向の流速の時間変化を示す。また図-4, 5に水温、塩分の時間変化を示す。いずれの図も実線が5m層、点線が17m層の観測値である。

図-2より一見して言えることは上層と下層で流向が逆転していることである。また潮汐と流速の明瞭な関係をこの図から把えることは出来ないが、概して大潮時頃(9月28日～10月3日、10月13日～10月18日)は半日周期成分の10cm/sec程度の比較的大きな流れが観測される。しかし小潮時頃(10月4日～10日、10月19日～24日)は流速も小さく、卓越周期も観測されない。またこの図より1ヶ月位の周期を持った長周期変動成分も認められるようである。すなわち観測期間前半の上層5mの流れは湾奥から湾口へ、後半は湾口から湾奥へ向う流れが卓越している。これに対し下層17mは上層と

* 正会員 豊博 農林水産省水産工学研究所水産土木工学部長

** 北海道開発局土木試験場水産土木室長

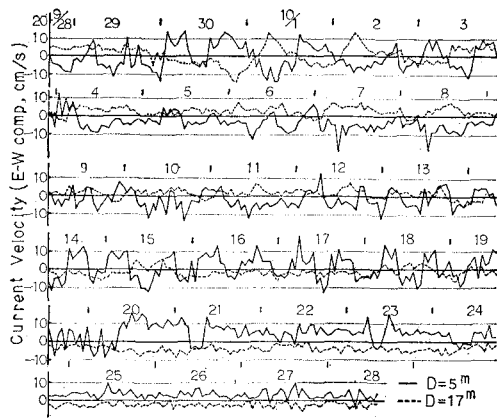


図-2 上下層の流速の時間的変化 (1977 年)

はまったく逆の流向で、前半は湾口から湾奥への流れが卓越している。また観測期間中 NW, SE 方向、風速 7~10 m/sec の風が卓越するが、これの表層流への応答はほとんど認められなかった。

St.-A での東西成分流速のパワースペクトルを 図-3 に示す。データは 1 時間平均をした流速データを用い、解析は Blackman-Tukey 法で行なった。これより 12 時間、25 時間周期の潮流成分が卓越していることがわかる。そこでこの流速データを用い Darwin 法により流速の調和分解を行なった。その結果 5m, 17m とも M_2 潮 (振幅、5m 層; 2.7 cm/sec, 17m 層; 0.9 cm/sec), K_1 潮 (振幅 5m 層; 2.6 cm/sec, 17m 層; 2.1 cm/sec) が卓越している。またこの観測期間中 (29 日間) の恒流は 5m 層で E 方向 0.3 cm/sec, 17m 層で W 方向 0.3 cm/sec であった。

上下層の水温の時間的変化を 図-4 に示す。この図より 10 月 4 日~6 日の期間を除いて上下層の水温差はほとんど見られなかつた。また潮汐、潮流に関連した日変

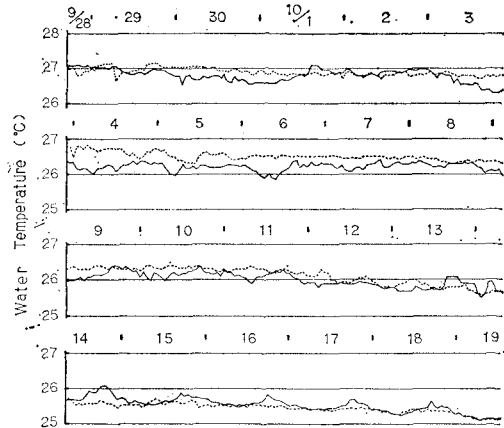


図-4 上下層の水温の時間的変化 (1977 年)

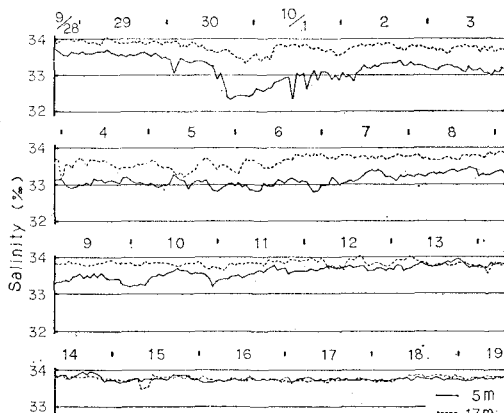


図-5 上下層の塩分の時間的変化 (1977 年)

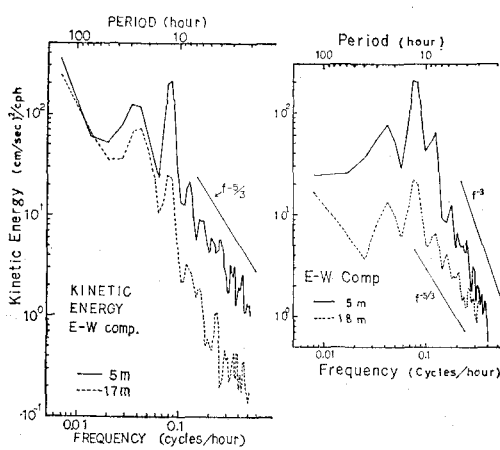
動もほとんど認められず、むしろ 10 月 14 日~19 日にみられるように気温変動が大きく影響しているようである。

図-5 に塩分の時間変化を示す。この図より 10 月 10 日頃までは上下層の塩分較差は大きいが、それ以降その差はほとんどなくなる。この頃がこの湾の対流期に当るのかもしれない。また下層の塩分変動は小さいが、表層はかなり変動がみられる。特に 9 月 30 日の塩分低下は前日の雨 (雨量 87 mm) の影響と思われる。

b) 1978 年の調査結果

図-6 は須崎湾口から野見湾奥までの湾軸上で 8 月 17 日の上げ潮時に測定した水温・塩分・密度の縦断面分布である。この時期は成層が発達しておりそれぞれの等值線は水平に寝ている。また水温 29°C 以上、塩分 32.5% 以下の高温低かん水が野見湾表層を覆っている。

次に湾内 3 点での長期観測結果であるが、St.-B, C について St.-A の結果とほぼ同じなので、ここでは St.-A の観測結果のみ述べる。

図-3 湾口流速のパワースペクトル
(左 1977 年、右 1978 年)

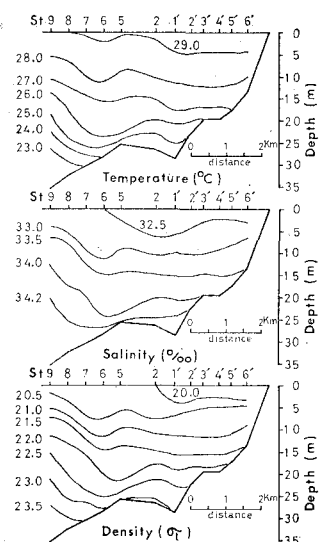


図-6 水温、塩分、密度の縦断分布(1978年)

図-7はSt.-Aの5m層と18m層における1時間平均毎の東西方向流速の時間変化である。1977年程顕著ではないがこの図から上層と下層で流向が逆転していることが認められる。また大きな特徴として観測前半は半日周潮成分が卓越し、約10cm/sec程度の流れが観測された。しかし9月6日以降この流れはほとんどなくなり、いわゆる“潮止り現象”が始まった。今回の観測で

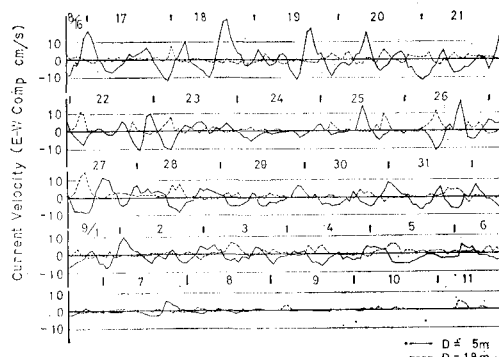


図-7 上下層の流速の時間変動(1978年, St.-A)

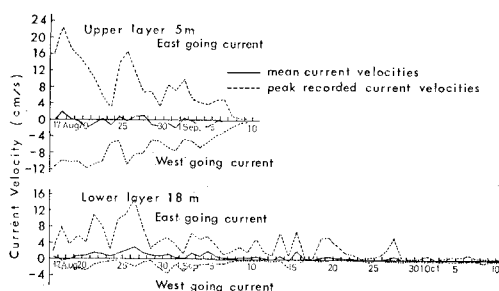


図-8 平均および最強流速の変動(1978年, St.-A)

は1977年に認められたような長周期の流速変動はなかった。

次にSt.-Aの上下層の東西方向の1日当たりのpeak流速、平均流速を示すと図-8のようになる。まず上層5mであるが、日平均流速は3cm/sec以下であり、卓越方向は認められなかった。peak流速は約1週間位の周期をもって減衰振動をし、9月10日以後その振幅は0になっている。下層18mはいくぶん様相を異にしている。すなわち平均流速は3cm/sec以下であるが、東流の卓越流向をもつ。peak流速は上層より小さいが、著しい減衰振動らしきものは認められない。また東流の方が西流より卓越している。

東西成分流速のパワースペクトルを求めるとき図-3のようになる。これより上下層とも12時間周期成分が卓越している。

図-9はSt.-Aで測定した水温データから推定したisotherm depthの時間的変化である。これより8月27日から9月3日まで28°Cの等温線はほぼ10m深を、27°Cの等温線はほぼ15m深を1日2回の割で振動している。その振幅は5~6mである。しかし4日以降28°C、27°C両深共1日2回の振動は見られなくなり、しかも28°C深は浅くなった。丁度この現象が起った時期は流速が小さくなり始めた時期とほぼ一致する。このことは“潮止り現象”を解明するための重要な鍵を示唆しているものと解釈でき興味深い。

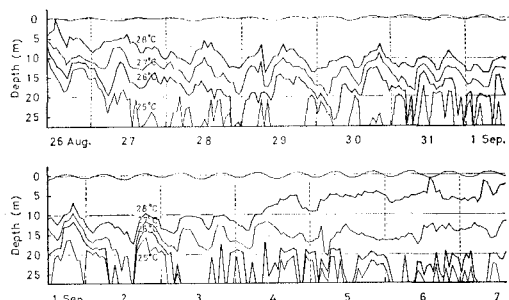


図-9 水温の時間的変動(1978年, St.-A)

3. 内部潮汐に関する理論およびその適用

野見湾では水温、塩分に起因する内部潮汐らしきものの発生が見られた。内部潮汐の周期が湾の固有周期に近い場合共振することが多く、湾の海水流動を支配する可能性がある。ここでは内部潮汐の共振周期、振幅の計算法を示し、これを野見湾へ適用してみる。

(1) 長方形湾の内部潮汐の理論

いま図-10に示すように湾口($x=a$)で内部潮汐振動 ζ_t がある場合、湾奥($x=0$)に向ての強制振動を考えよう。 $x=a$ における内部潮汐振動 ζ_t を

したがって最大流速は

$$u_{1\max} = 0.22 \text{ m/sec}, \quad u_{2\max} = 0.17 \text{ m/sec}$$

となり、ほぼ実測値と一致する。

3. 野見湾における海水交換

(1) St.-A の乱れ特性

野見湾の海水交換について検討するために St.-A の乱れの特性を調べる。ここでは 1978 年のデータのみについて述べる。毎日の測得流速および塩分データは 1 日の平均値とその偏差の和であるとし若干の統計処理し、各変動の 1 日の平均量、乱れ等を求めたものが図-11 である。これより日平均流速 \bar{u} は上下層共 3 cm/sec 以下で、下層は東流の卓越流向をもつ。塩分の日平均変動量はあまり大きくなく、下層 18 m でほぼ 34% 前後、上層 5 m で 32.6% 前後である。平均流による塩分の移流 \bar{us} は平均流のパターンと同じであり、あまり大きな変動は認められなかった。概して下層は東流で、上層は西流で塩分の輸送が行なわれる傾向にある。乱れ運動による塩分輸送 flux $\bar{u}'s'$ は移流項に比べて小さい。

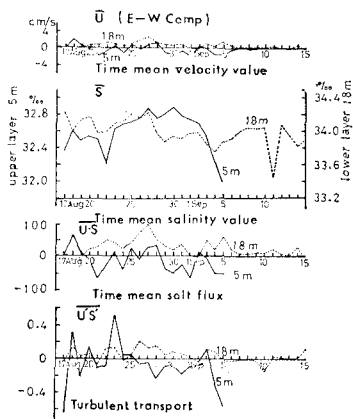


図-11 亂れ特性の変動 (1978 年, St.-A)

(2) 海水交換率

一潮(25時間)当たりの海水交換率を調べるために野見湾を単純な二層モデル(上層厚10m, 下層厚15m)と考えた。またSt.-Aの観測値を野見湾湾口部の代表値と仮定し、上下層の塩分fluxより海水交換率を推定した。すなわち一潮当たりの湾内の残留塩分量と全流入塩分量との比を海水交換率と定義して次式より求めた。

湾内に残留する塩分量 AQ , 塩分の全流入量 Q は

$$\Delta Q = \int_0^T [h_1(v_1 s_1 - v_1' s_1') + h_2(v_2 s_2 - v_2' s_2')] dt$$

$$Q = \int_0^T (h_1 v_1 s_1 + h_2 v_2 s_2) dt$$

海水交換率 α は

ここで v , s は湾口での流入流速および塩分で、上層を添字 1, 下層を添字 2 で表わす。また ' は流出量を表わす。 h_1 , h_2 は上, 下層の水層の厚さ, T は一潮汐周期(25 時間)である。

1977年、1978年の観測データを用い(17)式より海水交換率を計算した結果は図-12の通りである。これより交換率の値はバラツキが大きいが、流れが比較的大きい時期の交換率は平均0.3であった。

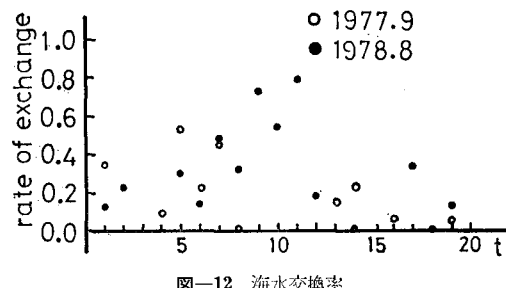


図-12 海水交換率

4. あとがき

密度成層流体中の海水交換機構を解明するため高知県野見湾において調査をした。そしていくつかの興味ある現象がわかった。またこの湾の流動環境を支配しているのは内部波であるらしいということが確認できた。

今後に残された問題として湾内の entrainment mixing の問題、内部波の発生機構について解明することによって海水流動・交換機構を明確にする必要がある。

最後にこの調査に当って高知県水産試験場森田場長、
窪田、生田両科長はじめ漁場環境科の皆様、水産工学研究所上北征男室長・杜多哲技官には御協力をいただいた。
またデータ整理においては内藤治男君((株)日本環境科学研究所)に協力して頂いた。ここに記して関係諸氏に深甚の謝意を表する次第である。

参 考 文 献

- 1) 中村 充: 漁場造成のための内部波エネルギーによる湧昇流の利用, 沿岸海洋研究ノート, Vol. 15, No. 2, pp. 116~124, 1978.
 - 2) 宗景志浩: 野見瀬における海水交流調査, 昭和 52 年度水産学会秋季大会講演要旨, 1977.